

(HUANJING KEXUE)

ENVIRONMENTAL SCIENCE

第35卷 第12期

Vol.35 No.12

2014

中国科学院生态环境研究中心 主办

斜学出版社出版



ENVIRONMENTAL SCIENCE

第35卷 第12期2014年12月15日

目 次(卷终)

北京雾霾天气生物气溶胶浓度和粒径特征
杭州大气颗粒物散射消光特性及霾天气污染特征 徐昶,叶辉,沈建东,孙鸿良,洪盛茂,焦荔,黄侃(4422)
太原市采暖季 PM _{2.5} 中元素特征及重金属健康风险评价 ······· 李丽娟, 温彦平, 彭林, 白慧玲, 刘凤娴, 史美鲜(4431)
成都市城区 PM _{2.5} 中二次水溶性无机离子污染特征 李友平,周洪,张智胜,王启元,罗磊(4439)
北京市臭氧的时空分布特征 王占山,李云婷,陈添,张大伟,孙峰,孙瑞雯,董欣,孙乃迪,潘丽波(4446)
南京北郊大气 VOCs 变化特征及来源解析 安俊琳,朱彬,王红磊,杨辉(4454)
祁连山中段降水化学的环境意义研究 李宗杰,李宗省,田青,宋玲玲,贾冰,郭瑞,宋耀选,苏索南,韩春坛(4465)
中亚热带典型林分不同层次氮硫湿沉降动态变化 孙涛,马明,王定勇,黄礼昕(4475)
本底大气 CO ₂ 观测分析过程中 QA/QC 方法的建立与评估 刘立新,周凌晞,夏玲君,王红阳,方双喜(4482)
轻型汽油车 CH_4 和 N_2O 排放因子研究 ·······················何立强,宋敬浩,胡京南,解淑霞,祖雷(4489)
煤燃烧超细微粒粒径谱演变及排放因子的实验研究
来然死起细腻性性性相便又及肝灰色」的关型明九 11 11 11 11 11 11 11 11 11 11 11 11 11
春、夏季长江口及其邻近海域溶解N,O的分布和海-气交换通量
珠江口水体组分的吸收特性分析
河流汇合处水体磷素形态特征及紫外光照的影响: 以渠江-嘉陵江、涪江-嘉陵江交汇为例
基于太湖微囊藻毒素的叶绿素 a 阈值研究 魏代春,苏婧,纪丹凤,伏小勇,王骥,霍守亮,崔驰飞,唐军,席北斗(4530)
百花湖周边城市近郊小流域氮、磷输出时空特征 冯源嵩, 林陶, 杨庆媛(4537)
自然光照对淹水条件下三峡库区消落带典型土壤磷释放影响 郭念, 江韬, 魏世强, 闫金龙, 梁俭, 卢松, 高洁(4544)
垂直流人工湿地 LDHs 覆膜改性沸石基质强化除磷效果及其机制 ················ 张翔凌,陈俊杰,郭露,陈巧珍,王晓晓(4553)
三峡库区消落带3种植物淹水后汞的动态变化及其对水体的影响 张翔,张成,孙荣国,王定勇(4560)
纳米 TiO ₂ 对底泥中汞释放及活化的影响 张金洋,李楚娴,王定勇,周雄,孙荣国,张成,梁丽(4567)
首都水源地——洋河流域人为源多环芳烃(PAHs)排放清单估算及其影响分析 ······ 高佳佳,罗维,奚晓霞(4573)
石化工业园区有毒废水来源识别研究 杨茜,于茵,周岳溪,陈学民,伏小勇,王淼(4582)
污水处理厂中红霉素抗药性基因的污染特征及选择性因子 李侃竹,吴立乐,黄圣琳,何势,刘振鸿,薛罡,高品(4589)
2种填料 BAF 深度处理印染废水沿程污染物变化规律研究 ····································
硫酸盐还原型甲烷厌氧氧化菌群驯化及其群落特征 · · · · · · · · · · · · · · · · · · ·
MBR 处理腈纶废水的效能及微生物群落结构分析
MBK 处理朋纪放小的效能及似生物矸洛结构开例
制革废水的厌氧氨氧化 ABR 脱氮工艺研究
生物滤池工艺的数值模拟与运行优化
气力装置对伏氧氨氧化污泥形态及性能的影响 ························· 李拜, 黄男, 哀怡, 周呈, 除宗妲, 张大林(4636)
给水厂污泥改良生物滞留填料除磷效果的研究
北京地区不同城镇污水处理厂堆肥污泥的营养含量和重金属污染 白莉萍,齐洪涛,伏亚萍,李萍(4648)
电子垃圾拆解区污染池塘中鱼类多氯联苯及其代谢产物的组织分配及暴露风险 唐斌,罗孝俊,曾艳红,麦碧娴(4655)
广东罗非鱼养殖区水体和鱼体中重金属、HCHs、DDTs 含量及风险评价
崇明典型水生生物中雌激素含量和分布特征 耿婧婧,叶爱丽,杨毅,刘敏,张婧,周俊良(4671)
啶虫脒光催化降解动力学的优化及其降解产物的分析 周文常,阳海,胡志斌,兰世林(4678)
氮添加对生长季寒温带针叶林土壤有效氮和酸化的影响 陈高起,傅瓦利,罗亚晨,高文龙,李胜功,杨浩(4686)
土地利用方式对缙云山土壤团聚体稳定性及其有机碳的影响 李鉴霖, 江长胜, 郝庆菊(4695)
上海市郊设施大棚次生盐渍化土壤盐分含量调查及典型对应分析 唐冬,毛亮,支月娥,张进忠,周培,柴晓彤(4705)
某铅酸蓄电池污染场地表层土壤重金属 Pb 空间分布预测研究 ····································
海泡石对镉-铅复合污染钝化修复效应及其土壤环境质量影响研究
盐碱区不同开发年限水田温室气体排放规律及影响因素
不同热解温度生物炭对 Cd(Ⅱ)的吸附特性 王震宇,刘国成, Monica Xing, 李锋民, 郑浩(4735)
碱土金属钙沉积对 Mn-Ce/TiO, 低温 SCR 催化剂脱硝性能的影响
國大金属的仇权 Mn-Ce ² HO ₂ 似溫 SCR 催化剂 成明性能的影响 周发矣,七平哮,盛里义,谭月,物柳(4743) 国内外水泥工业大气污染物排放标准比较研究 江梅,李晓倩,纪亮,邹兰,魏玉霞,赵国华,车飞,李刚,张国宁(4752)
国内外外况上业人气行架物排放标准比较研究 ············ 江梅,字晓情,纪克,邓三,魏玉霞,赵国平,平飞,字刚,张国于(4732) 我国水泥工业大气污染物排放标准的修订历程与思考 ····································
工梅,李晓倩,纪亮,邹兰,魏玉霞,赵国华,车飞,李刚,张国宁(4759) 《环袋科》》第 25 节(2014 年) 并且司
《环境科学》第 35 卷(2014 年) 总目录 (4767)
《环境科学》征订启事(4617) 《环境科学》征稿简则(4654) 信息(4474, 4529,4536,4744)

北京雾霾天气生物气溶胶浓度和粒径特征

环

高敏1,仇天雷1,贾瑞志1,2,韩梅琳1,宋渊2,王旭明1*

(1. 北京市农林科学院生物技术研究中心,农业基因资源与生物技术北京市重点实验室,北京 100097; 2. 中国农业大学生 物学院,北京 100193)

摘要: 近年来北京雾霾天气频发, 空气颗粒物聚集是导致雾霾天气发生的主要原因之一. 作为一种重要的空气颗粒物, 生物 气溶胶对人体健康存在危害. 本研究调查了雾霾天气时,生物气溶胶浓度和粒径分布规律; 对其同空气质量指数 PM,, (AQI),环境温度和湿度间的 Spearman's 相关性进行了研究;分析了冬夏两季重度雾霾天气时,生物气溶胶粒径分布规律. 结 果表明,生物气溶胶浓度与 PM, 5(AQI) 呈负相关,与环境温度呈正相关. 环境湿度与细菌气溶胶浓度呈负相关而与真菌气溶 胶浓度呈正相关. 在冬季,最大浓度细菌和真菌气溶胶分别在4.5~7.0 μm 和2.1~3.3 μm 粒径范围内检测到,而夏季最高 浓度细菌和真菌气溶胶均分布在 3.3~4.5 µm 范围内. 本研究结果将为不同雾霾天气下,评价生物气溶胶对人类健康造成的 危害提供基础数据.

关键词:雾霾;细菌气溶胶;真菌气溶胶; PM_{2.5}(AQI); Spearman's 相关性; 粒径分布 中图分类号: X513 文献标识码: A 文章编号: 0250-3301(2014)12-4415-07 DOI: 10.13227/j. hjkx. 2014. 12. 001

Concentration and Size Distribution of Bioaerosols at Non-haze and Haze Days in Beijing

GAO Min¹, QIU Tian-lei¹, JIA Rui-zhi^{1, 2}, HAN Mei-lin¹, SONG Yuan², WANG Xu-ming¹

(1. Beijing Key Laboratory of Agricultural Genetic Resources and Biotechnology, Beijing Agro-Biotechnology Research Center, Beijing Academy of Agriculture and Forestry Sciences, Beijing 100097, China; 2. College of Biological Sciences, China Agricultural University, Beijing 100193, China)

Abstract: In recent years, haze has been observed frequently in Beijing. Haze was one of the atmospheric phenomena caused by the accumulation of particulate matter. As an important fraction of particular matter, bioaerosol could potentially cause significantly negative health effects. In this study, we detected the concentration and size distribution of viable bioaerosol during non-haze and haze days, analyzed correlation of viable bioaerosol with the ambient temperature and relative humidity using Spearman's correlation coefficient and finally detected the changing of size distribution of viable bioaerosol in summer and winter. Results indicated that concentrations of viable bioaerosol exhibited a negative correlation with Air Quality Index (AQI) of PM2, and positive correlation with temperature. Relative humidity had a negative correlation with airborne bacteria while positive correlation with airborne fungi. The highest concentration of airborne bacteria and fungi were detected at size arrange of 4.5-7.0 µm and 2.1-3.3 µm in the winter, respectively. In the summer, both the highest concentration of airborne bacteria and fungi were observed at size arrange of 3.3-4.5 μm. The results of this study will provide the basis data for hazard evaluation of bioaerosol on human health at non-haze and haze days. Key words: haze; airborne bacteria; airborne fungi; PM2, (AQI); Spearman's correlation coefficients; size distribution

目前,北京已经被列为世界十大空气污染城市 之一[1]. 尤其是自 2013 年 1 月以来,北京地区雾霾 天气暴发频率大大增加[2,3],对人群健康造成严重 危害. 雾霾是由颗粒物质在空气中聚集而引发的一 种气候现象,颗粒物包括烟和灰尘等不同种类的固 体及液滴,其中也包括生物气溶胶[4]. 生物气溶胶 是指含有细菌、真菌、病毒、孢子和细胞碎片等生 物性粒子的一类气溶胶[5]. 植物、土壤和岩石表面 附着的微生物均是生物气溶胶的重要来源. 尽管生 物气溶胶在空气颗粒物中所占比例较小,其对人体 健康造成的潜在危害不容忽视[6,7]. 特别是生物气 溶胶的粒径影响其在呼吸道的沉降位置[8],导致其 危害的复杂性增加. 值得注意的是,在雾霾天气时, 空气中高浓度的重金属和无机离子[3] 能够加速由 生物性粒子引起的过敏和哮喘反应[13]. 因此,对雾 霾暴发条件下,空气中生物气溶胶的污染状况进行 研究是十分有必要的. 作为环境质量的背景参考 值,国内外研究者已经对空气环境中可培养生物气 溶胶浓度[6,8,9]和粒径分布[10~12]进行了详尽报道. 然而目前关于雾霾暴发时空气中生物气溶胶的研究

收稿日期: 2014-04-18; 修订日期: 2014-05-29

基金项目: 国家自然科学基金项目(51308047); 北京市农林科学院 科技创新能力建设专项(KJCX2014302)

作者简介: 高敏(1980~), 女, 博士, 助理研究员, 主要研究方向为环境生物技术与生物气溶胶, E-mail: gaomin@ baafs. net. cn

* 通讯联系人, E-mail: wangxuming@ baafs. net. cn

少有报道^[14]. 针对这一现状,本研究对北京市不同雾霾天气时,空气中可培养细菌和真菌气溶胶的浓度、粒径分布情况,及其同雾霾污染程度的关系进行分析,以期为评价生物气溶胶对人类健康造成的危害提供基础数据.

1 材料与方法

1.1 采样地点和时间

本研究的采样地点位于北京市西四环与西三环之间,北京市农林科学院生物中心楼顶,距地面垂直距离约 20 m,采样高度为 1.5 m. 空气质量指数 (air quality index, AQI) 是描述任何一种或者多种生物生存空气条件的一种指数. 其中, $PM_{2.5}$ (AQI) 是由 $PM_{2.5}$ 浓度值计算得出,与 $PM_{2.5}$ 浓度正相关,目前被广泛用于表示空气污染程度. 本研究对不同 $PM_{2.5}$ (AQI)条件下,空气中的细菌气溶胶和真菌气溶胶进行检测. 样品采集时间为 $2013-01-14\sim2013-07-02$. 具体样品采集信息如表 1 所示.

表 1 北京市不同雾霾程度对应采样信息

Table 1 Sampling information at different haze days in Beijing

1 0		, , ,
污染程度	PM _{2.5} (AQI) 范围	采样次数1)
严重	> 300	10
重度	300 ~ 200	11
中度	200 ~ 150	7
轻度	150 ~ 100	3
良好	100 ~ 50	7
优等	50 ~ 0	4

1)共计采样 42 次,每次采样设置 3 个平行,使用平皿 1512 个(真菌 气溶胶和细菌气溶胶各 756 个)

1.2 采样方法和培养方法

生物气溶胶的采集使用 FA-I 撞击式采样器 (辽阳,中国). 该仪器模拟人体呼吸道的解剖结构 和空气动力学生理特征,采用惯性撞击原理将悬浮在空气中的微生物粒子分等级地收集到采样介质表面,供微生物学分析. 空气中的带菌粒子按大小分别捕获在各级的培养皿上[15]: Stage W: 0.65~1.1 μ m, Stage W: 1.1~2.1 μ m, Stage W: 2.1~3.3 μ m, Stage W: 3.3~4.7 μ m, Stage W: 4.7~7.0 μ m 和 Stage W: 5.0 μ m 样品采集时间为 2 μ m 和 Stage W: 5.0 μ m 样品采集时间为 2 μ m 和 Stage W: 5.0 μ m 样品采集时间为 2 μ m 和 Stage W: 6.0 μ m 样品采集时间为 2 μ m 和 Stage W: 5.0 μ m 样品采集时间为 2 μ m 和 Stage W: 5.0 μ m 样品采集时间为 2 μ m 和 Stage W: 6.1 μ m 和 Stage W: 6.1 μ m 和 Stage W: 7.0 μ m 样品采集时间为 2 μ m 和 Stage W: 7.0 μ m 样品采集时间为 2 μ m 和 Stage W: 7.0 μ m 样品采集时间为 2 μ m 和 Stage W: 7.0 μ m 样品采集时间为 2 μ m 和 Stage W: 7.0 μ m 科品采集时间为 2 μ m 和 Stage W: 7.0 μ m 科品采集时间为 2 μ m 和 Stage W: 7.0 μ m W: 7.

培养皿采用9 cm 平皿,灭菌后在无菌条件下加入20 mL 培养基. 细菌采用牛肉膏蛋白胨培养基,30 ℃ 培养箱内培养2 d;真菌采样用孟加拉红培养

基, 25 $^{\circ}$ C 培养箱内培养 3 d. 采集的样品在进行菌落计数时,采用 Positive hole method 方法对菌落数进行相应校正 $^{[15]}$.

1.3 计算方法

1.3.1 生物气溶胶总浓度

根据采样时间和气体流量,利用公式(1)计算 各级生物气溶胶总浓度.

$$c = \frac{N \times 1000}{t \times F} \tag{1}$$

式中,c 为细菌或者真菌气溶胶浓度(CFU·m⁻³); N 为各级菌落数; t 为采样时间(min); F 为采样时的气体流量(L·min⁻¹). 空气温度和相对湿度用温湿度计(WD-35612,OAKTON,Germany)检测.

1.3.2 粗颗粒物中生物气溶胶所占比例

因 FA-I 撞击式采样器无 PM_{2.5}切割器,依据以往报道^[1],本研究将粒径 D_{50} 大于 2.1 μ m(Stage III) 定义为粗颗粒物. 粗颗粒物中细菌气溶胶所占比例计算公式如下:

$$CBT = \frac{(B I + B II + B II) \times 100\%}{(B I + B II + B III + B IV + B V + B V)}$$
(2)

式中,BI、BⅢ、BⅢ、BⅣ、BV 和 BⅥ分别为分布在 Stage I、Ⅱ、Ⅲ、Ⅳ、V和Ⅵ粒径范围中细菌气溶胶的浓度.

粗颗粒物中真菌气溶胶所占比例计算公式如下:

$$CFT = \frac{(FI + FII + FIII) \times 100\%}{(FI + FIII + FIII + FIV + FV + FVI)}$$
(3)

式中,FI、FⅢ、FⅢ、FⅣ、FV和FⅥ分别为在 Stage I、Ⅲ、Ⅲ、Ⅳ、V和Ⅵ中真菌气溶胶的浓度.

1.3.3 细颗粒物中细菌气溶胶所占比例

本研究将粒径 D_{50} 小于 2.1 μ m(Stage III)定义为细颗粒物. 细颗粒物中细菌气溶胶所占比例计算公式如下:

$$FBT = \frac{\left(B\overline{W} + B\overline{V} + B\overline{W}\right) \times 100\%}{\left(B\overline{I} + B\overline{I}\overline{I} + B\overline{M} + B\overline{W} + B\overline{V} + B\overline{W}\right)}$$
(4)

细颗粒物中真菌气溶胶所占比例计算公式如下:

$$FFT = \frac{(FIV + FV + FVI) \times 100\%}{(FI + FII + FIII + FIV + FV + FVI)}$$
(5)

1.4 气象指数

实时空气质量指数 PM_{2.5}(AQI),环境温度和湿度来自于 http://cdc.cma.gov.cn. [16].

1.5 数据统计分析

利用 SPSS 21.0 来计算描述性统计参数,如 t-检验、单因素方差分析和 Spearman's 相关性分析. 当 P 值小于 0.05 时,表明在 95% 的置信区间内具有统计学意义上的显著差异.

2 结果与分析

2.1 北京雾霾暴发初期生物气溶胶浓度和粒径分布 2013年1月,全国各地相继暴发大规模雾霾, 北京地区当月暴发雾霾天数为1954年以来同期最 多^[2],引起国内外的广泛关注.本研究对雾霾暴发 初期14d内(样品采集时间从2013-01-14~2013-01-28)空气中生物气溶胶进行采集,并对其中6d 的数据进行分析.具体采样日期、细菌和真菌气溶 胶的总浓度、不同粒径范围内的浓度分布以及对应 的实时空气质量指数PM₂₅(AQI)如图1所示.

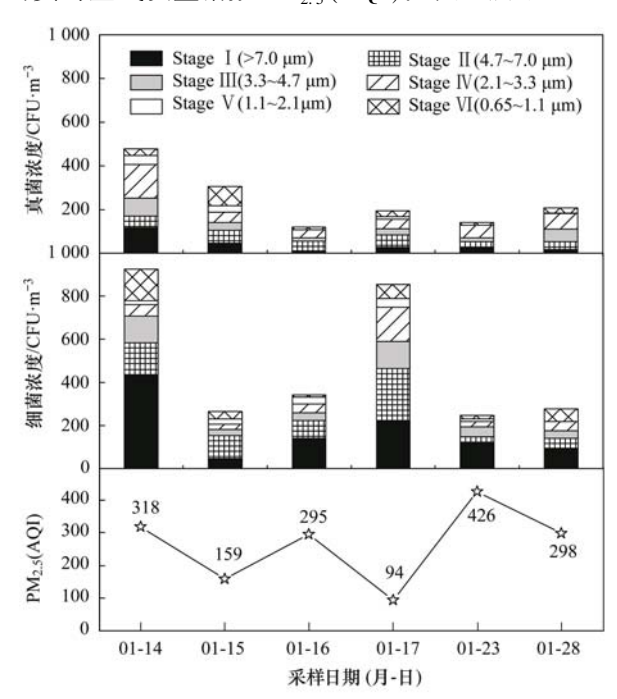


图 1 北京雾霾暴发初期细菌和真菌气溶胶 在不同粒径的浓度分布

Fig. 1 Concentration and size distribution of airborne bacteria and fungi in early haze in Beijing

如图 1 所示, 当空气污染指数 PM_{2.5} (AQI)数值在 94~426之间, 检测到细菌和真菌气溶胶浓度分别是 248~926 CFU·m⁻³和 120~478 CFU·m⁻³. 对雾霾程度 PM_{2.5} (AQI) 同细菌和真菌气溶胶浓度之间的关系进行分析, 没有检测到明显相关性. 同时, 在本阶段所调查的 14 d 内, 也没有发现雾霾程度与细菌和真菌气溶胶粒径分布规律之间的相关性. 根

据已有研究,在非雾霾天气时,空气中重金属与一周后的生物气溶胶浓度呈负相关^[17],说明空气污染对生物气溶胶的影响可能存在滞后性. 若要明确污染程度与空气中微生物的关系,需要对二者变化规律进行长期检测. 因此,本研究对 2013 年 1~7 月间不同雾霾程度时,北京市空气中细菌和真菌浓度以及粒径分布特点进行系统检测.

2.2 不同雾霾程度时生物气溶胶浓度和粒径分布 特点

首先,对不同雾霾程度条件下,空气中的细菌和真菌气溶胶浓度进行监测. 并记录相应的 $PM_{2.5}$ (AQI)、环境温度和湿度,结果如图 2 所示. 在样品采集的 6 个月内, $PM_{2.5}$ (AQI)的变化范围为 14 ~ 452,温度范围 -1.9 $^{\circ}$ $^{\circ}$ $^{\circ}$ $^{\circ}$ $^{\circ}$ 相对湿度范围 10.3% $^{\circ}$ $^{\circ}$

本研究考察了雾霾程度对生物气溶胶粒径分布可能造成的影响. 为方便研究,根据 $PM_{2.5}$ (AQI)指数将雾霾污染程度分为 4 个等级,即 $PM_{2.5}$ (AQI)0~100、100~200、200~300 和 > 300. 将每个范围内检测到的 $PM_{2.5}$ (AQI)数值进行算数平均计算,平均值分别为 59.5、158.1、259.1 和 359.3. 对 4 个污染程度下细菌和真菌气溶胶在不同粒径范围内的浓度进行分析,结果如图 3 所示.

整体上,没有发现雾霾程度对生物气溶胶粒径分布规律的明显影响(图 3). 首先,在不同程度雾霾天气和非雾霾天气两种条件下,细菌气溶胶主要分布在大粒径范围. 这与以往国内[18]和国外[19]学者对非雾霾天气时细菌气溶胶粒径分布规律的研究结果相一致. 这是由于细菌通常附着在颗粒物表面,其浓度会随着颗粒物粒径的增加而增加,而呈现出所报道的分布趋势[20]. 其次,在所考察的 4 种空气质量条件下,真菌气溶胶在不同粒径范围内都呈现正态分布,这与细菌气溶胶的分布特点有所不同.在雾霾和非雾霾天,真菌气溶胶均主要分布在 Stage IV(2.1~3.3 μm)和 Stage III(3.3~4.7 μm) 两个范围内. 这与前人报道的非雾霾天的分布规律相似,如北京[9]的最高浓度分布在 2.1~3.3 μm,台北[21]和青岛[22]的分布在 3.3~4.7 μm.

2.3 PM_{2.5}(AQI)、环境温度和湿度与生物气溶胶浓度和粒径分布关系

对 2013 年 1~7 月间, PM_{2.5}(AQI)、环境温度

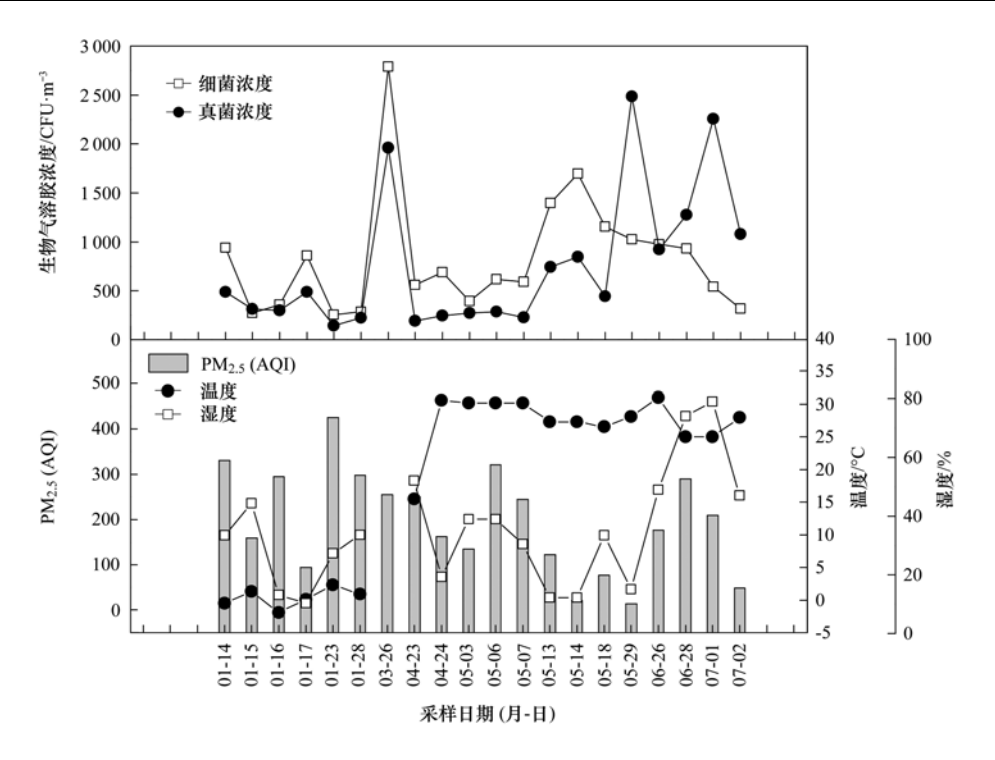
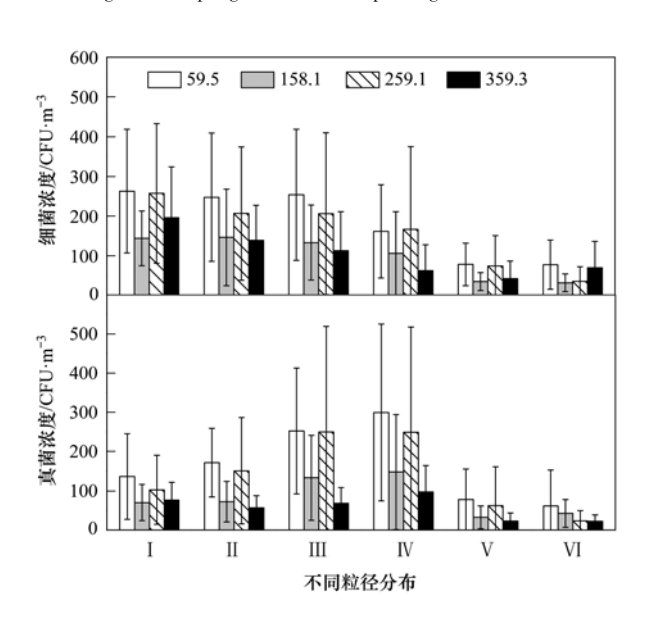


图 2 采样日期及相应的细菌和真菌气溶胶浓度、PM25(AQI)、温度和湿度

Fig. 2 Sampling date and corresponding concentration of airborne bacteria and fungi, PM2.5 (AQI), temperature and relative humidity



Stage VI :0. 65 ~ 1. 1 μm , Stage V :1. 1 ~ 2. 1 μm , Stage IV :2. 1 ~ 3. 3 μm , Stage III :3. 3 ~ 4. 7 μm , Stage II :4. 7 ~ 7. 0 μm 71 Stage I :> 7. 0 μm

图 3 PM_{2.5} (AQI) 平均值分别为 59.5、158.1、259.1 和 359.3 时细菌和真菌气溶胶的浓度和粒径分布特点

Fig. 3 Concentration and size distribution of airborne bacteria and fungi when average values of PM_{2.5} (AQI) were 59.5, 158.1, 259.1 and 359.3, respectively

和湿度同生物气溶胶的关系进行了 Spearman 相关性分析,包括在不同粒径范围内生物气溶胶浓度(BI到BVI、FI到FVI)、总生物气溶胶浓度(TB

和 TF)、细颗粒物中细菌气溶胶比例(FBT)、粗颗粒物中细菌气溶胶比例(CBT)、细颗粒物中真菌气溶胶比例(FFT) 和粗颗粒物中真菌气溶胶比例(CFT). 由细菌气溶胶的粒径分布规律研究结果可知(图3),大部分细菌气溶胶分布在大粒径范围内(>2.1 μ m),因此本阶段研究采用 $PM_{2.5}$ (AQI)和 PM_{10} (AQI)两个表示空气质量的参数,考察雾霾程度同生物气溶胶之间的关系. 结果如表 2 所示.

首先,考察了 PM,,(AQI) 同生物气溶胶的关 系. 由表 2 可知, PM, 5 (AQI) 同细菌和真菌气溶胶 的总浓度呈显著负相关(P<0.05). 其中,与绝大 部分粒径范围内细菌和真菌气溶胶的浓度(除了 B VI和 FV) 呈显著负相关(P < 0.05), 说明空气中的 细菌和真菌气溶胶浓度随着雾霾程度的增加而逐渐 减小. 这与以往报道的细菌气溶胶浓度正相关于空 气颗粒物浓度[6]的研究结果不同. 这可能是因为空 气颗粒物中含大量的有毒有害物质[23],尤其是在雾 霾天气,北京空气中污染元素[24]和无机离子的浓 度[1]分别是非雾霾天的 3.6~10.0 和 2.0~2.8 倍. 此时空气颗粒物中高浓度的有害物质可能对生物气 溶胶产生危害,出现 PM, 5(AQI) 同细菌和真菌气溶 胶浓度负相关的结果. 表 2 同时显示, PM25 (AQI) 与 FBT 和 FFT 负相关,而与 CBT 和 CFT 正相关. 说 明随着雾霾程度的增加,细菌和真菌气溶胶在细颗

表 2 PM_{2.5} (AQI)、PM₁₀ (AQI)、温度和湿度同 BI 到 BVI、FI 到 FVI、TB、TF、FBT、CBT、FFT 和 CFT 的 Spearman 相关系数分析¹⁾
Table 2 Spearman's correlation analysis between the value of PM_{2.5} (AQI), PM₁₀ (AQI), ambient temperature and

relative humidity and concentration of BI to BVI, FI to FVI, TB, TF and FBT, CBT, FFT and CFT					
项目	$PM_{2.5}(AQI) (n = 42)$	$PM_{10}(AQI) (n = 42)$	温度(n=41)	湿度(n=41)	
ВІ	-0.347 *	-0.204	0. 074	-0.370 *	
ВШ	- 0. 465 **	- 0. 243	0. 163	-0.271	
В∭	- 0. 497 **	-0.211	0. 415 **	-0.226	
BIV	-0.489 **	- 0. 234	0. 202	-0.504**	
BV	-0. 355 *	-0.103	0. 107	-0.286	
вVI	-0. 292	- 0. 209	-0.216	-0.273	
TB	-0. 323 *	-0.120	0. 310 *	- 0. 325 *	
F I	-0.477 **	-0.360*	0. 418 **	0. 140	
$\mathbf{F} \mathbf{II}$	- 0. 405 **	- 0. 203	0. 604 **	0. 286	
FⅢ	- 0. 367 *	-0.281	0. 492 **	0. 250	
$\mathbf{F}\mathbf{IV}$	- 0. 467 **	-0.352*	0. 299	0. 074	
FV	-0.304	- 0. 251	0. 036	0.012	
FVI	-0.493 **	-0.260	0. 217	- 0. 375 *	
TF	-0. 426 **	- 0. 294	0. 461 **	0. 222	
FBT	-0.153	-0.015	-0.175	-0.333*	
CBT	0. 153	0. 015	0. 175	0. 333 *	
FFT	-0.095	- 0. 194	-0.016	-0.127	
CFT	0. 095	0. 194	0.016	0. 127	

1) * * 表示 P < 0.01 (2-tailed), * 表示 P < 0.05 (2-tailed), n 为采样次数

粒物所占的比例减少,而在粗颗粒物中所占比例增加. 造成这一现象的原因可能是在雾霾天气时,空气中小粒径颗粒物可发生聚集作用形成大粒径颗粒物^[25],从而导致颗粒物中的微生物所占比例发生变化. PM₁₀(AQI)与 TB、TF 以及各个粒径范围内的细菌和真菌气溶胶均呈负相关,但是相关性并不显著.

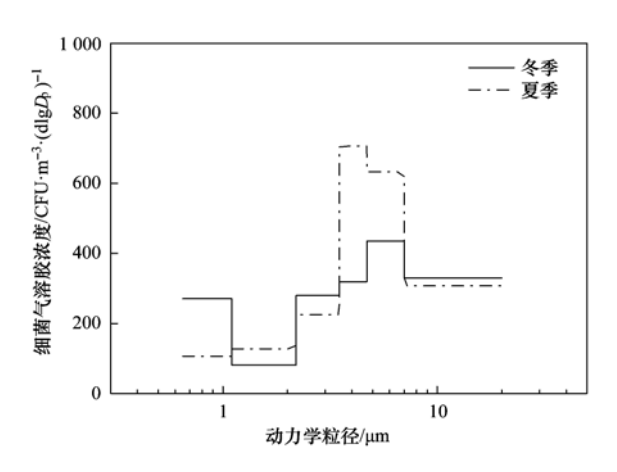
最后,分析了环境相对湿度与生物气溶胶之间的关系.由表2的结果可知,环境湿度对细菌和真菌气溶胶造成的影响有所不同:与真菌呈正相关,这与以往在非雾霾条件下的研究结果相一致^[26];与细菌呈负相关,主要原因可能是空气细菌气溶胶大多是革兰氏阳性菌,这些细菌可以在低湿度下迅速繁殖,而高湿度会抑制其生长^[27].同时发现,在细

颗粒物内的细菌和真菌气溶胶比例均与环境湿度呈负相关,说明细颗粒内的生物气溶胶随着环境湿度的增加而减小. 这是由于空气中的细颗粒物会随着环境湿度的升高而发生聚集作用^[28]. 本研究结果显示,细菌气溶胶在细颗粒物和粗颗粒物中的分布受到湿度的影响更加显著(*P*<0.05).

2.4 冬夏两季雾霾天气生物气溶胶粒径分布特点

由于粒径是评价颗粒物对人体健康危害的重要参数,本研究对 PM_{2.5}(AQI)>300 的严重雾霾天气时,冬夏两季空气中细菌和真菌气溶胶的粒径分布特点进行分析,结果如图 4 和图 5 所示.

由图 4 和图 5 可知,在重度雾霾天气条件下,冬夏两季空气中细菌和真菌气溶胶的粒径分布特点存在差异. 在冬季,细菌和真菌气溶胶的最大浓度分别在 4.5~7.0 μm 和 2.1~3.3 μm 检测到,而在夏季,最高浓度的细菌和真菌气溶胶都分布在 3.3~4.5 μm 范围内. 其中,在 3.3~7.0 μm 范围内,夏季的细菌气溶胶浓度高于冬季; 2.1~7.0 μm 范围内,夏季的真菌气溶胶浓度高于冬季. 空气颗粒物的动力学粒径是决定人类暴露以及后续危害评价的重要参数,不同粒径的生物气溶胶粒子会沉降在人体呼吸道的不同位置. 如,Stage I (鼻子和口腔),Stage II (咽),Stage II (气管和支气管),Stage IV (二级支气管),Stage V (末端支气管)和 Stage V (肺泡)[15]. 本研究的结果初步显示,重度雾霾天气



冬季:取样 8 次,平均 PM_{2.5}(AQI) = 325.88; 夏季:取样 8 次, 平均 PM_{2.5}(AQI) = 315.13,下同

图 4 冬季和夏季重度雾霾污染时细菌气溶胶粒径分布特点

Fig. 4 Size distribution characteristics of airborne bacteria at summer and winter in heavy haze day

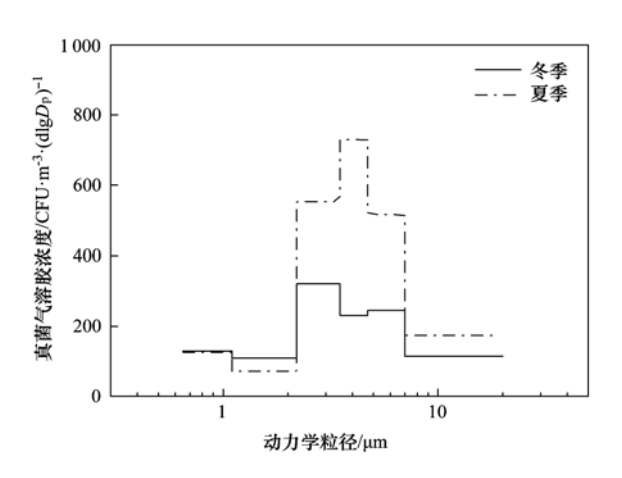


图 5 冬季和夏季重度雾霾污染时真菌气溶胶粒径分布特点

Fig. 5 Size distribution characteristics of airborne fungi at summer and winter in heavy haze day

时,冬夏两季细菌和真菌气溶胶粒径分布有所改变, 对人体健康造成的影响也可能有所差异.然而,如 果要详细评价雾霾天气下生物气溶胶对人类健康危 害,下一步还需要对颗粒物中不可培养微生物以及 相关的化学物质进行研究.

3 结论

本研究结果显示,在 2013 年 1~7 月之间,北京市雾霾程度 PM_{2.5} (AQI)与细菌和真菌气溶胶总浓度均呈负相关,与细颗粒物和粗颗粒中生物气溶胶所占比例分别呈负相关和正相关.环境温度与细菌和真菌气溶胶总浓度为正相关.相对湿度与细菌气溶胶负相关而与真菌气溶胶正相关.重度雾霾天气时,冬季最大浓度的细菌和真菌气溶胶分别在 4.5

 \sim 7.0 μ m 和 2.1 \sim 3.3 μ m 检测到,而在夏季最高浓度都分布在 3.3 \sim 4.5 μ m 范围内.

参考文献:

- [1] Yu X N, Zhu B, Yin Y, et al. A comparative analysis of aerosol properties in dust and haze-fog days in a Chinese urban region [J]. Atmospheric Research, 2011, 99(2); 241-247.
- [2] 王秦, 陈曦, 何公理, 等. 北京市城区冬季雾霾天气 PM_{2.5}中元素特征研究 [J]. 光谱学与光谱分析, 2013, **33**(6): 1441-1445.
- [3] Tan J H, Duan J C, Chen D H, et al. Chemical characteristics of haze during summer and winter in Guangzhou [J]. Atmospheric Research, 2009, 94(2): 238-245.
- [4] Degobbi C, Lopes F D T Q S, Carvalho-Oliveira R, et al. Correlation of fungi and endotoxin with PM_{2.5} and meteorological parameters in atmosphere of Sao Paulo, Brazil [J]. Atmospheric Environment, 2011, 45(13); 2277-2283.
- [5] 杜睿. 大气生物气溶胶的研究进展[J]. 气候与环境研究, 2006, **11**(4): 546-552.
- [6] Haas D, Galler H, Luxner J, et al. The concentrations of culturable microorganisms in relation to particulate matter in urban air [J]. Atmospheric Environment, 2013, 65: 215-222.
- [7] Vermani M, Vijayan V K, Kausar M A, et al. Quantification of airborne Aspergillus allergens: redefining the approach [J]. The Journal of Asthma: Official Journal of the Association for the Care of Asthma, 2010, 47(7): 754-761.
- [8] Boreson J, Dillner A M, Peccia J. Correlating bioaerosol load with PM_{2.5} and PM_{10cf} concentrations: a comparison between natural desert and urban-fringe aerosols [J]. Atmospheric Environment, 2004, 38(35): 6029-6041.
- [9] 方治国, 欧阳志云, 胡利锋, 等. 北京市夏季空气真菌生态 分布特征 [J]. 环境科学学报, 2005, **25**(2): 160-165.
- [10] Yamamoto N, Bibby K, Qian J, et al. Particle-size distributions and seasonal diversity of allergenic and pathogenic fungi in outdoor air [J]. International Society for Microbial Ecology, 2012, 6(10): 1801-1811.
- [11] Liao C M, Luo W C. Use of temporal/seasonal-and size-dependent bioaerosol data to characterize the contribution of outdoor fungi to residential exposures [J]. Science of the Total Environment, 2005, 347(1-3): 78-97.
- [12] 方治国, 欧阳志云, 胡利锋, 等. 北京市夏季空气微生物粒度分布特征[J]. 环境科学, 2004, 25(6): 1-5.
- [13] Gavett S H, Koren H S. The role of particulate matter in exacerbation of atopic asthma [J]. International Archives of Allergy and Immunology, 2001, 124(1-3): 109-112.
- [14] Cao C, Jiang W J, Wang B Y, et al. Inhalable microorganisms in Beijing's PM_{2.5} and PM₁₀ pollutants during a severe smog event [J]. Environmental Science & Technology, 2014, 48 (3): 1499-1507.
- [15] Andersen A A. New sampler for the collection, sizing, and enumeration of viable airborne particles [J]. Journal of Bacteriology, 1958, **76**(5): 471-484.

- [16] Wang Y, Zhuang G H, Sun Y L, et al. The variation of characteristics and formation mechanisms of aerosols in dust, haze, and clear days in Beijing [J]. Atmospheric Environment, 2006, 40(34): 6579-6591.
- [17] Adhikari A, Reponen T, Grinshpun S A, et al. Correlation of ambient inhalable bioaerosols with particulate matter and ozone: A two-year study [J]. Environmental Pollution, 2006, 140(1): 16-28.
- [18] Xu Z Q, Yao M S. Monitoring of bioaerosol inhalation risks in different environments using a six-stage Andersen sampler and the PCR-DGGE method [J]. Environmental Monitoring and Assessment, 2013, 185(5): 3993-4003.
- [19] Lighthart B, Shaffer B T. Viable bacterial aerosol particle size distributions in the midsummer atmosphere at an isolated location in the high desert chaparral [J]. Aerobiologia, 1995, 11(1): 19-25.
- [20] Fang Z G, Ouyang Z Y, Zheng H, et al. Concentration and size distribution of culturable airborne microorganisms in outdoor environments in Beijing, China [J]. Aerosol Science and Technology, 2008, 42(5): 325-334.
- [21] Lin W H, Li C S. Size characteristics of fungus allergens in the subtropical climate [J]. Aerosol Science and Technology, 1996, 25(2): 93-100.
- [22] Li M F, Qi J H, Zhang H D, et al. Concentration and size

- distribution of bioaerosols in an outdoor environment in the Qingdao coastal region [J]. Science of the Total Environment, 2011, 409(19): 3812-3819.
- [23] Xu W Z, Chen H, Li D H, et al. A case study of aerosol characteristics during a haze episode over Beijing [J]. Procedia Environmental Sciences, 2013, 18: 404-411.
- [24] Sun Y L, Zhuang G S, Tang A H, et al. Chemical characteristics of PM_{2.5} and PM₁₀ in haze-fog episodes in Beijing [J]. Environmental Science & Technology, 2006, 40 (10): 3148-3155.
- [25] Kulmala M, Laakso L, Lehtinen K E J, et al. Initial steps of aerosol growth [J]. Atmospheric Chemistry and Physics, 2004, 4: 2553-2560.
- [26] Wang Z, Reponen T, Grinshpun S A, et al. Effect of sampling time and air humidity on the bioefficiency of filter samplers for bioaerosol collection [J]. Journal of Aerosol Science, 2001, 32 (5): 661-674.
- [27] de Goffau M C, Yang X M, van Dijl J M, et al. Bacterial pleomorphism and competition in a relative humidity gradient [J]. Environment Microbiolog, 2009, 11(4): 809-822.
- [28] Madelin T M, Johnson H E. Fungal and actinomycete spore aerosols measured at different humidities with an aerodynamic particle sizer [J]. Journal of Applied Bacteriology, 1992, 72 (5): 400-409.

HUANJING KEXUE

Environmental Science (monthly)

Vol. 35 No. 12 Dec. 15, 2014

CONTENTS

Concentration and Size Distribution of Bioaerosols at Non-haze and Haze Days in Beijing	GAO Min, QIU Tian-lei, JIA Rui-zhi, et al. (4415)
Light Scattering Extinction Properties of Atmospheric Particle and Pollution Characteristics in Hazy Weather in Hangzhou	
Characteristic of Elements in PM _{2,5} and Health Risk Assessment of Heavy Metals During Heating Season in Taiyuan	
Pollution Characteristics of Secondary Water-soluble Inorganic Ions of PM _{2.5} in Urban Chengdu, China	LI You-ping, ZHOU Hong, ZHANG Zhi-sheng, et al. (4439)
Temporal and Spatial Distribution Characteristics of Ozone in Beijing	······ WANG Zhan-shan, LI Yun-ting, CHEN Tian, et al. (4446)
Characteristics and Source Apportionment of Volatile Organic Compounds (VOCs) in the Northern Suburb of Nanjing	AN Jun-lin, ZHU Bin, WANG Hong-lei, et al. (4454)
Environmental Significance of Wet Deposition Composition in the Central Qilian Mountains, China	LI Zong-jie, LI Zong-xing, TIAN Qing, et al. (4465)
Dynamics of Nitrogen and Sulfur Wet Deposition in Typical Forest Stand at Different Spatial Levels in Simian Mountain, Mid-subtr	opical Region ·····
	SUN Tao, MA Ming, WANG Ding-yong, et al. (4475)
Establishment and Assessment of QA/QC Method for Sampling and Analysis of Atmosphere Background CO ₂	LIU Li-xin, ZHOU Ling-xi, XIA Ling-jun, et al. (4482)
An Investigation of the CH ₄ and N ₂ O Emission Factors of Light-duty Gasoline Vehicles	HE Li-qiang, SONG Jing-hao, HU Jing-nan, et al. (4489)
Experimental Study on the Size Spectra and Emission Factor of Ultrafine Particle from Coal Combustion	
Distributions and Air-Sea Fluxes of Dissolved Nitrous Oxide in the Yangtze River Estuary and Its Adjacent Marine Area in Spring a	and Summer
	·· WANG Lan, ZHANG Gui-ling, SUN Ming-shuang, et al. (4502)
Spectral Absorption Properties of the Water Constituents in the Estuary of Zhujiang River	
Characteristics of Phosphorus Forms and the Effects of UV Light in the Confluences Water of Quijiang-Jialing River and Fujiang-Jia	ling River ·····
	YAN Jin-long, JIANG Tao, WEI Shi-qiang, et al. (4522)
Research on the Threshold of Chl-a in Lake Taihu Based on Microcystins	
Temporal and Spatial Characteristic of Nitrogen and Phosphorus Output in the Suburb Watershed Around the Baihua Lake	
Effects of Light Irradiation on Phosphorous Releases from Typical Submerged Soils of Water-Level Fluctuation Zones of Three Gorgo	
	GUO Nian, JIANG Tao, WEI Shi-qiang, et al. (4544)
Analysis on the Removal Efficiency and Mechanisms of Phosphorus by Modified Zeolites Substrates Coated with LDHs Reacted by	
Constructed Wetlands	
Mercury Dynamics of Several Plants Collected from the Water-Level Fluctuation Zone of the Three Gorges Reservoir Area During F	
2 January 2 January 2 Colon Talan Society 1 and 1 and 1 and 2 and	ZHANG Xiang ZHANG Cheng SUN Rong-guo et al. (4560)
Effect of Nano-TiO ₂ on the Release and Activation of Mercury in Sediment	
Estimation Inventory of Polycyclic Aromatic Hydrocarbons (PAHs) from Anthropogenic Sources and Its Impacts within the Yanghe	
Estimation inventory of Foreigner Atomatic Physicanonis (17115) from Antinopogenic Sources and its impacts within the Fangile	
Source Identification of Toxic Wastewaters in a Petrochemical Industrial Park	
Investigation of Pollution Characteristics of Erythromycin Resistance Genes in a Sewage Treatment Plant and the Relevant Selective	
investigation of rotation characteristics of Expanoniyan resistance offices in a sewage freathern train and the refevant selective	II Kan-zhu WII Li-le HUANC Sheng-lin et al. (4589)
Variation of Pollutants Along the Height of Two Media BAF During Advanced Treatment of Dyeing Wastewater	
Acclimatization and Characteristics of Microbial Community in Sulphate-Dependent Anaerobic Methane Oxidation	
Capability and Microbial Community Analysis of a Membrane Bioreactor for Acrylic Fiber Wastewater Treatment	
Nitrogen Removal Performance of ANAMMOX ABR Process in Tannery Wastewater Treatment	
Numerical Simulation and Operation Optimization of Biological Filter	
Effect of Gas-lift Device on the Morphology and Performance of ANAMMOX Sludge	
Water Treatment Residual as a Bioretention Media Amendment for Phosphorus Removal	• • • • • • • • • • • • • • • • • • • •
Nutrient Contents and Heavy Metal Pollutions in Composted Sewage Sludge from Different Municipal Wastewater Treatment Plants	in Beijing Region
Polychlorinated Biphenyls and Their Methylsulfonyl Metabolites in Fish from an Electronic Waste Recycling Site in South China; T	
Residues and Health Risk Assessment of HCHs , DDTs and Heavy Metals in Water and $\it Tilapias$ from Fish Ponds of Guangdong $\it \cdots$	
Concentration and Distribution Characteristics of Estrogen in Aquatic Organism from Chongming Island	
Photocatalytic Degradation of Acetamiprid by ${\rm TiO}_2$ and Xe Lamp: Kinetics and Degradation Intermediates	
Effects of Nitrogen Addition on Available Nitrogen Content and Acidification in Cold-temperate Coniferous Forest Soil in the Growin	ng Season
Impact of Land Use Type on Stability and Organic Carbon of Soil Aggregates in Jinyun Mountain	
Investigation and Canonical Correspondence Analysis of Salinity Contents in Secondary Salinization Greenhouse Soils in Shanghai S	
Spatial Distribution Prediction of Surface Soil Pb in a Battery Contaminated Site	LIU Geng, NIU Jun-jie, ZHANG Chao, et al. (4712)
Immobilization Remediation of Cd and Pb Contaminated Soil; Remediation Potential and Soil Environmental Quality	
Rules and Impact Factors of Greenhouse Gases Emission in the Saline-Alkali Paddy Fields in Different Years	
Adsorption of Cd(II) Varies with Biochars Derived at Different Pyrolysis Temperatures	····· WANG Zhen-yu, LIU Guo-cheng, Monica Xing, et al. (4735)
Poisoning Effect of Ca Depositing Over Mn-Ce/TiO $_2$ Catalyst for Low-temperature Selective Catalytic Reduction of NO by NH $_3$ \cdots	····· ZHOU Ai-yi, MAO Hua-feng, SHENG Zhong-yi, et al. (4745)
A Comparative Study on Domestic and Foreign Emission Standards of Air Pollutants for Cement Industry	
Revision Process and Thinking of Emission Standard of Air Pollutants for Cement Industry	JIANG Mei, LI Xiao-qian, JI Liang, et al. (4759)

《环境科学》第6届编辑委员会

主 编:欧阳自远

副主编:赵景柱 郝吉明 田 刚

编 委:(按姓氏笔画排序)

万国江 王华聪 王凯军 王绪绪 田 刚 田 静 史培军

朱永官 刘志培 汤鸿霄 陈吉宁 孟 伟 周宗灿 林金明

欧阳自远 赵景柱 姜 林 郝郑平 郝吉明 聂永丰 黄 霞

黄耀 鲍强潘纲潘涛魏复盛

环维种草

(HUANJING KEXUE)

(月刊 1976年8月创刊)

2014年12月15日 第35卷 第12期

ENVIRONMENTAL SCIENCE

(Monthly Started in 1976)

Vol. 35 No. 12 Dec. 15, 2014

主	管	中国科学院	Superintended	by	Chinese Academy of Sciences
主	办	中国科学院生态环境研究中心	Sponsored	by	Research Center for Eco-Environmental Sciences, Chinese
协	办	(以参加先后为序)			Academy of Sciences
		北京市环境保护科学研究院	Co-Sponsored	by	Beijing Municipal Research Institute of Environmental
		清华大学环境学院			Protection
主	编	欧阳自远			School of Environment, Tsinghua University
编	辑	《环境科学》编辑委员会	Editor-in -Chief		OUYANG Zi-yuan
21111	11	北京市 2871 信箱(海淀区双清路	Edited	by	The Editorial Board of Environmental Science (HUANJING
		18 号,邮政编码:100085)			KEXUE)
		电话:010-62941102,010-62849343			P. O. Box 2871, Beijing 100085, China
		传真:010-62849343			Tel:010-62941102,010-62849343; Fax:010-62849343
		E-mail; hjkx@ rcees. ac. cn			E-mail; hjkx@ rcees. ac. cn
		http://www.hjkx.ac.cn			http://www. hjkx. ac. cn
出	版	4 星 虫 版 社	Published	by	Science Press
щ	///	北京东黄城根北街 16 号			16 Donghuangchenggen North Street,
		邮政编码:100717			Beijing 100717, China
印刷装	ìΤ	北京北林印刷厂	Printed	by	Beijing Bei Lin Printing House
发	行	斜学出版社	Distributed	by	Science Press
		电话:010-64017032			Tel:010-64017032
		E-mail:journal@mail.sciencep.com			E-mail:journal@mail.sciencep.com
订 购	处	全国各地邮电局	Domestic		All Local Post Offices in China
国外总发	衸行	中国国际图书贸易总公司	Foreign		China International Book Trading Corporation (Guoji
		(北京 399 信箱)			Shudian), P. O. Box 399, Beijing 100044, China

中国标准刊号: ISSN 0250-3301 CN 11-1895/X

国内邮发代号: 2-821

国内定价:90.00元

国外发行代号: M 205

国内外公开发行